# 多层次算力网络集中式不可分割任务调度算法

Centralized Unsplittable Task Scheduling Algorithm for Multi-Tier Computing Power Network

巩宸字/GONG Chenyu<sup>1</sup>,舒洪峰/SHU Hongfeng<sup>2</sup>,张昕/ZHANG Xin<sup>2</sup>

(1. 上海科技大学,中国 上海 200120; 2. 深圳市智慧城市科技发展集团有限公司,中国 深圳 518046) (1. ShanghaiTech University, Shanghai 200120, China; 2. Smart Cities Group, Shenzhen 518046, China)

摘要:根据算力网络不同层次的特性和各种应用的不同需求,提出一种多层次算力网络模型和计算卸载系统,并定义一个由时延、能耗组成的加权代价函数以建模一个任务调度问题。为解决这一问题,提出一个基于交叉熵的集中式不可分割任务调度(CUTS)算法。数值仿真结果表明,与其他基线算法相比,该算法在系统平均代价方面拥有较好的性能。

关键词:多层次算力网络;交叉熵;集中式;任务调度;不可分割

Abstract: According to the characteristics of different layers of computing power network and different requirements of various applications, a multi-tier computing power network model and computation offloading system are proposed. Specifically, a cost function consisting of latency and energy consumption to model a task scheduling problem is defined. To solve the problem, a centralized unsplittable task scheduling (CUTS) algorithm based on cross-entropy is introduced. Simulation results show that the algorithm provides superior performance in terms of the average system cost compared with other baseline solutions.

Keywords: multi-tier computing power network; cross-entropy; centralized; task scheduling; unsplittable

DOI:10.12142/ZTETJ.202103008 网络出版地址:https://kns.cnki.net/kcms/ detail/34.1228.TN.20210617.1144.010.html

网络出版日期:2021-06-17 收稿日期:2021-05-13

上年来,随着深度学习的不断发展,人工智能服务和应用大量涌现,比如人脸识别、自然语言处理、虚拟现实、增强现实等。这些应用通常都是计算密集型任务,将消耗大量的终端资源(如算力和能耗)。然而,由于计算能力和能量供应有限,终端设备(例如手机)可能无法提供良好的服务质量。为此,研究者们提出云计算的概念。

云计算[1-2]是由分布式计算、并行 处理、网格计算发展而来的新型计算 模型。通过虚拟化技术建立强大的 资源池,云计算使各种应用和服务能够按需获取算力、存储资源及各种软件资源。云计算为海量数据的处理提供了可能,同时也为计算密集型的人工智能应用提供了强大的算力。然而,端与云之间的传输时延使得云计算无法满足时延敏感型应用的需求。因此,雾计算和边缘计算[3-4]的概念被提出,以解决云计算传播时延大的问题。

边缘计算是指,在靠近物或者数据源头的一侧部署设备,提供计算、存储等软件服务,并通过算力和通信

资源的联合分配,满足应用的时延需求。经典的边缘计算网络由雾节点和本地用户共同组成。其中,本地用户通过任务拆分和任务卸载决策,来达到全局时延和能耗最小的最优效果。此前,学者们的研究主要集中在单用户多节点[5-6]和多用户单节点[7-8]。文献[9]研究了多用户多节点这一应用场景。研究表明,边缘计算可以降低传输时延。但是对于一些对算力和时延都有较高要求的应用来说,边缘计算网络将不再适用,比如自动驾驶、虚拟现实等。因此,算力网络[10]

的概念被提出。

算力网络涉及云计算、雾计算、 边缘计算等。算力网络是由云边端 等设备构成的多层次资源网络,它能 够将云边端进行统一调配,但是如何 实现系统的最优性能仍是一个难题。 原因主要有两点:(1)云边端各有其 特性。云距离端较远但算力强,多用 于处理全局任务;边距离端较近但算 力弱,多处理本地实时任务。(2)用户 任务的需求不同。计算密集型任务 可能更多地需要云的参与,时延敏感 型任务可能更多地需要边的参与,对 算力和时延同时有较高要求的任务 则需要联合进行调度。基于以上原 因,文献[11]研究了多层次算力网络, 并提出一种分布式调度算法。但是 该模型是边端混合的两层算力网络, 并未考虑云的作用。

试想存在如下场景:一座办公大 楼内有多个楼层,每层都有多间办公 室,且每间办公室都有多个用户和不 同性质的任务。由于职能划分不同, 不同部门通常所需要的算力不尽相 同。这就容易造成算力资源的不合 理利用,甚至造成任务中断。如果我 们按照办公室和楼层的位置,将其构 造成一个多层次算力网络,进行任务 的调度和算力分配,那么就能够更好 地满足计算密集型和时延敏感型应 用的需求。

#### 1 计算卸载系统建模

#### 1.1 系统概述

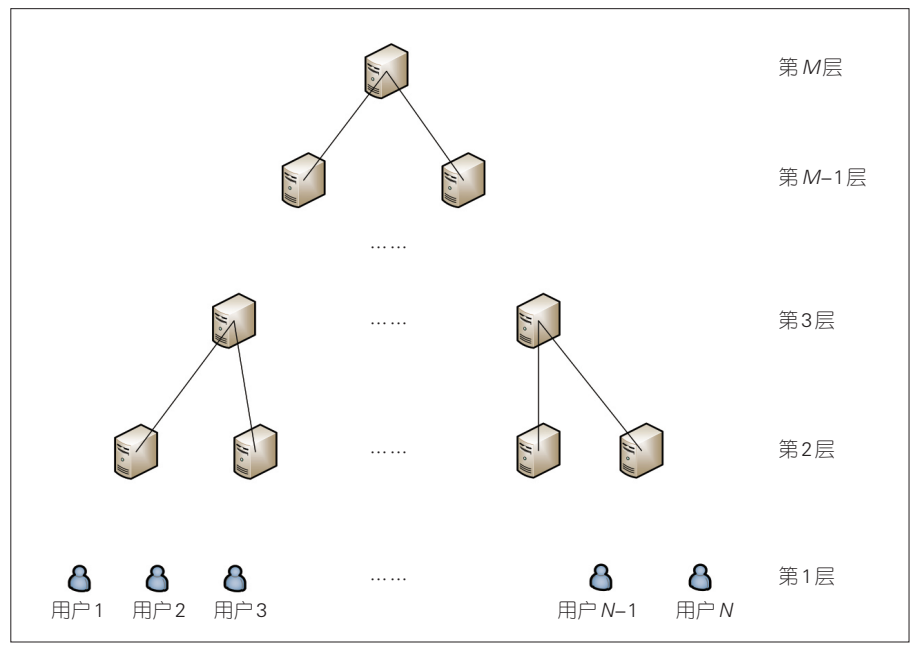
本节将详细介绍一个多层次算 力网络和计算卸载系统,定义一个由 时延、能耗组成的加权代价函数,并 建模一个任务调度问题。

算力网络一共有多层。第1层为 用户节点,其他层为雾节点。雾节点 的算力随层数的增加而上升。通常, 距离用户较远的高层雾节点算力比较强大,但是往返时延较长;距离用户较近的低层雾节点往返时延较短,但是算力有限。在考虑时延和能耗的基础上,用户可以将不可拆分的任务卸载到某层的某个雾节点,也可以选择将任务在本地执行。因此,如何根据时延和能耗帮助用户做出卸载决策,是解决任务调度问题并获取全局最优解的核心。

如图 1 所示,算力网络一共有 M 层,第 1 层包含 N 个用户,每个用户都有一个任务。用户集合 N =  $\{1,2,\cdots,N\}$  也可以看作任务集合。此处,我们假设每个任务都不可拆分,即如果用户选择把任务卸载到雾节点,那么只能卸载到某一个雾节点上。我们将用户  $n \in N$  的计算任务表示为  $(z_n,\gamma_n)$ ,其中, $z_n$  是任务的大小(位), $\gamma_n$  是任务的处理密度(中央处理器转数/位,cycle/b),即处理单位比特数据所需要的 (CPU) 中央处理器转数。第 2 层至第 M 层是雾节点。其中,低层雾节点和高层雾节点均为汇

聚式连接方式,即第 m-1层的某几 个雾节点向上汇聚并连接第 m 层的 某一个雾节点。如果用户选择将任 务卸载到第 m 层(m > 2), 因为存在汇 聚式的连接方式, 当第2层中转雾节 点确定后,用户任务卸载到第 m 层的 节点是确定的。因此,用户在3层以 上的决策空间为层数。如果第2层的 雾节点有K2个,那么第2层的雾节点 可以表示为 $K_2 = \{1,2,\dots,K_2\},$ 第m层 的雾节点表示为 $L_{\infty}(m > 2)$ ,所有雾节 点的集合表示为K = K,  $\bigcup L$ ,  $\coprod L =$  $\{L_3,L_4,\dots,L_M\}$ 。 用户 n 的 卸 载 策 略  $a_n \in \{0\} \cup \mathcal{K}$ ,可以表示为:若 $a_n = 0$ , 则用户选择在本地运行任务;若  $a_n$  ∈ K,则用户选择将任务卸载到雾 节点上。对于所有用户的算法调度策 略,我们用 $A = \{a_1, a_2, \dots, a_n\}$ 来表示。所 有选择雾节点 $k \in \mathcal{K}$ 的用户数 $n_k(A) =$  $\sum_{n=1}^{N} I_{\{a_n=k\}}$ ,其中 $I_{\{x\}}$ 是指示函数。如 果x为真,则 $I_{\{x\}} = 1$ ,否则 $I_{\{x\}} = 0$ 。

用户与第2层雾节点之间为全连接式结构。多层次算力网络不考虑



▲图1 多层次算力网络模型

隔层直接通信。

#### 1.2 通信模型

每个用户都有两种卸载决策。 当用户决定将任务在本地执行时,此时并没有通信产生的时延;而当用户 决定将任务卸载到雾节点时,就会存 在通信时延。

假设雾节点k只有一个用户n接人,则从用户n到雾节点k的最大传输速率表示为 $R_{n,k}$ <sup>[12]</sup>。但是一个雾节点往往会有多个用户接入,此时各个用户需要竞争来获得通信带宽。根据共享模型,我们将带宽进行均分。当有多个用户接入节点k时,用户n的传输速率表示为公式(1):

$$R_{n,k}(A) = \frac{R_{n,k}}{n_k(A)}$$
(1)

与大多数工作一样,与卸载到雾节点的任务大小相比,由于从雾节点返回用户的结果太小,并且下行速率要比上行速率大得多,因此,结果返回产生的通信时延忽略不计。用户n将任务卸载到第3层雾节点k上的通信时延如公式(2)所示:

$$T_{\text{trans},n,(2,k)} = \frac{z_n}{R_{n,k}(A)} = \frac{z_n n_k(A)}{R_{n,k}}$$
(2)

如果用户将任务卸载到第 m 层 (m > 2)雾节点,首先用户需要将任务卸载到第 2 层雾节点,然后通过有线网将任务向上传输。假设任务在上传时经过的第 2 层雾节点为 q\*,则

$$q^* = \arg\min_{q} \left\{ T_{\text{trans},n,(2,q)}; q = 1,2,\dots,K_2 \right\}_{\circ}$$
(3)

我们假设相邻层雾节点之间的往返传输时间为常数,并用 $t_c$ 表示。那么,用户将任务卸载到第m层的通信时延可用公式(4)表示:

$$T_{\text{trans},n,(m,k)} = T_{\text{trans},n,(2,q^*)} + (m-2)t_{c_0}$$
 (4)

综上所述,用户n卸载到雾节点的通信时延如公式(5)所示:

$$T_{\text{trans},n,(m,k)} = T_{\text{trans},n,(2,k)} I_{\left\{a_n \in \mathcal{K}_2\right\}} + \sum_{m=3}^{M} T_{\text{trans},n,(m,k)} I_{\left\{a_n = L_m\right\}_{\bigcirc}}$$

$$(5)$$

因为用户的通信能耗只存在与第2层雾节点的通信过程中,所以用户n将任务卸载到雾节点k上的能耗可用公式(6)表示:

$$\begin{split} E_{\text{trans},n,(m,k)} &= P_{\text{fog},n} T_{\text{trans},n,\left(2,q^*\right)} = \\ P_{\text{fog},n} \frac{z_n n_k(A)}{R_{n,q^*}}, \end{split} \tag{6}$$

这里,  $P_{fog,n}$ 表示用户n向雾节点k发送任务时的发送功率。我们假设这一功率是恒定的。

#### 1.3 计算模型

#### 1.3.1 本地计算模型

当用户决定在本地执行任务时,则存在计算时延和计算能耗。我们将用户n的计算能力表示为 $f_n$ ,即CPU的时钟频率(CPU转数/s),那么本地计算时延可以用公式(7)来表示:

$$T_{\text{comp},n} = \frac{z_n \gamma_n}{f_n} \tag{7}$$

相应地,本地计算能耗可以用公式(8)表示:

$$E_{\text{comp},n} = \kappa_n z_n \gamma_n f_n^2 , \qquad (8)$$

其中, κ, 是与硬件结构相关的常数。

#### 1.3.2 雾节点计算模型

假设同一层雾节点的算力相等, 并且算力随着层数的增加而增加,第 m+1层的算力是第 m 层算力的两 倍。如果第2层雾节点k所能提供的算力用 $f_2$ 表示,那么第m层雾节点k的算力为 $f_m = 2^{m-2}f_2$ 。当用户决定把任务卸载到第m层雾节点时,如果雾节点k只有一个用户n接入,那么雾节点k的算力将完全由用户n使用。当有多个用户接入雾节点k时,多个用户需要竞争雾节点有限的算力资源。我们简单地将雾节点的算力均分给每个用户,则用户n此时的计算时延如公式(9)所示:

$$T_{\text{comp},n,(m,k)} = \frac{z_n \gamma_n}{f_m} = \frac{z_n \gamma_n n_{k(A)}}{2^{m-2} f_2}$$
 (9)

因为任务是在雾节点上运行的, 所以对于用户n来说并没有计算 能耗。

#### 1.4 问题建模

我们将用户的任务卸载代价建模成时延和能耗的线性组合,即定义一个加权代价函数。我们用 $\alpha$ 、(1- $\alpha$ )分别表示时延和能耗的权重,并且规定 $0 \le \alpha \le 1$ 。对于不同用户,权重取值不同。时延较敏感用户的 $\alpha$ 取值应该更大,而能耗敏感用户的 $\alpha$ 取值则应该更小。

如果用户选择在本地处理任务, 那么代价可以用公式(10)表示:

$$C_{n} = \alpha T_{\text{comp},n} + (1 - \alpha) E_{\text{comp},n} =$$

$$\alpha \frac{z_{n} \gamma_{n}}{f_{n}} + (1 - \alpha) \kappa_{n} z_{n} \gamma_{n} f_{n}^{2}$$

$$(10)$$

如果用户选择将任务卸载到雾 节点 k上,代价可以用公式(11)来 表示:

$$C_{n,(m,k)} = \alpha \left( T_{\text{trans},n,(m,k)} + T_{\text{comp},n,(m,k)} \right) +$$

$$\left( 1 - \alpha \right) E_{\text{trans},n,(m,k)}$$

$$(11)$$

给定策略组合 $A = \{a_1, a_2, \dots, a_n\}$ ,则用户n在该策略组合下的代价函数

如公式(12)所示:

$$C_{n}(A) = C_{n}I_{\{a_{n}=0\}} + \sum_{m=2}^{M} C_{n,(m,k)}I_{\{a_{n}\in\mathcal{K}\}_{0}}$$
(12)

每个用户需要做出决策来最小 化自己的代价函数。这里,我们将问 题建模为最小化所有用户的平均代 价函数,如公式(13)所示:

$$\min_{A} \frac{1}{N} \sum_{n \in \mathcal{N}} C_n(A) \tag{13}$$

我们将公式(13)称为任务调度 问题,并提出集中式不可分割任务调 度算法来解决该问题。

### 2基于交叉熵的集中式不可分 割任务调度算法

交叉熵方法最初是用来解决稀有事件估计问题的,其基本思想是:通过不断迭代来修正稀有事件的发生概率,使得修正后的概率不断增大,直到此概率达到收敛。收敛概率即为最优概率。根据最优概率就一定会获得最优解。交叉熵方法后来逐渐发展成为解决优化问题(尤其是组合优化问题)的一种方法。这里,我们将使用交叉熵方法来分析任务调度问题。

我们定义所有用户的平均代价 函数,如公式(14)所示:

$$Q(A) = \frac{1}{N} \sum_{n \in \mathcal{N}} C_n(A)$$
(14)

假设  $A \neq A$  的取值空间, $\gamma^* \neq Q(A)$  的最小值,此时,公式(14)所示的问题就可以转化为对公式(15)的求解。

$$\gamma^* = \min_{A \in \mathcal{A}} Q(A) \ _{\circ} \tag{15}$$

假设所有层的雾节点一共有*T*个,我们将所有用户的概率矩阵表示

为P,维度表示为 $n \times (T+1)$ 。元素 $p_{i,j}$ 表示用户i选择将任务卸载到设备j的概率, $j \in \{0\} \cup \{1,2,\cdots,T\}$ 。其中, $j \in \{0\}$ 和 $j \in \{1,2,\cdots,T\}$ 分别对应将任务在本地执行和卸载到各层的雾节点 $\{\mathcal{K}_2, L_3, \cdots, L_m\}$ 上执行。我们可以看出, $\sum_j p_{i,j} = 1$ 。概率矩阵P的取值空间为P。我们定义一个关于卸载策略A的概率密度函数 $\{f(\cdot; P \in \mathcal{P})\}$ 。由此我们构建一个估计问题,如公式(16)所示:

$$l(\gamma) = \mathbb{P}_{v}(Q(A) \leq \gamma) = \mathbb{E}_{v}I_{\{Q(A) \leq \gamma\}},$$
(16)

其中,A 是符合概率密度函数  $\{f(\cdot; V \in \mathcal{P})\}$ 的一个随机决策向量, $\gamma$ 是一个常数。

对于这个估计问题, $\{Q(A) \leq \gamma\}$ 是个小概率事件。我们要根据I的取值来使  $\gamma$ 逐渐接近最优解  $\gamma$ \*。我们通过交 叉熵方法来不断迭代概率密度函数,从 而使概率矩阵也会发生变化,以此来获得最优解。理论上,迭代过程中产生的  $f(\cdot;V),f(\cdot;P^1),f(\cdot;P^2),\cdots,f(\cdot;P^T)$  都向着最优概率密度方向更新,从而使最 优解可以获得。

#### 2.1 更新 γ<sup>t</sup>

对于固定的 $P'^{-1}$ ,我们使 $\gamma'$ 为在概率矩阵 $P'^{-1}$ 下Q(A)的 $(1-\rho)$ 分位数,如公式(17)所示:

$$\mathbb{P}_{p^{i-1}}(Q(A) \leq \gamma^{i}) \geq \rho$$

$$\mathbb{P}_{p^{i-1}}(Q(A) \geq \gamma^{i}) \geq 1 - \rho, \tag{17}$$

其中 $A \sim f(\cdot; P^{t-1})_{\circ}$ 

根据概率密度函数 $f(\cdot; P^{i-1})$ ,我们随机抽取 $N_s$ 个样本 $\{a^1,a^2,a^3,\cdots,a^{N_s}\}$ ,然后计算出 $\{Q(a^1),Q(a^2),Q(a^3),\cdots,Q(a^{N_s})\}$ 的值,

并将其按降序排序,那么 $\gamma$ '的估计值  $\hat{\gamma}$ '就可以用公式(18)表示。

$$\hat{\gamma}^{\iota} = S_{\{[1-\rho)N_{\iota}]\}_{\circ}} \tag{18}$$

#### 2.2 更新 P'

对于固定的 $\gamma'$ 和 $P'^{-1}$ ,我们通过最小化交叉熵来得到P',相应的求解如公式(19)所示:

$$\max_{p} D(P) = \max_{p} \mathbb{E}_{p^{r-1}} I_{\{Q(A) \leq \gamma'\}} \ln f(A; P)$$

$$(19)$$

 $f(\cdot; P)$ 的对数表示如公式(20)所示:

$$\ln f(A; P) = \sum_{i=1}^{N} \sum_{j=0}^{T} I_{\{a_i = j\}} \ln p_{i,j}$$
 (20)

利用公式(20),我们可以得到公式(19)的拉格朗日函数,如公式(21)所示:

$$\mathcal{L}(P,\lambda) = \mathbb{E}_{p^{i-1}} I_{\{Q(A) \leq \gamma'\}} \sum_{i=1}^{N} \sum_{j=0}^{T} I_{\{a_i = j\}} \ln p_{ij} + \sum_{i=1}^{N} \lambda_i \left( \sum_{j=0}^{T} p_{ij} - 1 \right),$$
(21)

其中 $\lambda_i$ 为拉格朗日乘子, $i=1,2,\cdots,N$ 。应用 KKT(Karush - Kuhn - Tucker)条件,并通过 $\partial \mathcal{L}(P,\lambda)/\partial p_{i,j}=0$ ,我们可以得到公式(19)的最优解,如公式(22)所示:

$$p_{ij} = \frac{\mathbb{E}_{p^{i-1}} I_{\{Q(A) \le \gamma'\}} I_{\{a_i = j\}}}{\mathbb{E}_{p^{i-1}} I_{\{Q(A) \le \gamma'\}}} \circ (22)$$

公式(23)可以被用来估计 $\hat{p}_{ii}$ :

$$\hat{p}_{i,j} = \frac{\sum_{k=1}^{N_s} I_{\{Q(a^k) \leq \gamma'\}} I_{\{a_i^k = j\}}}{\sum_{k=1}^{N_s} I_{\{Q(a^k) \leq \gamma'\}}}$$
(23)

但是通常来说,我们并不通过公

式(23)来直接优化*P*′,而是通过公式(24)来进行优化:

$$\hat{p}_{i,j}^{t} = \beta \hat{p}_{i,j}^{t} + (1 - \beta) \hat{p}_{i,j}^{t-1}, \qquad (24)$$

其中, $\hat{p}_{i,j}^{t}$ 可从公式(23)中获得, $\beta$ 是平滑参数,且 $\beta \in (0,1]$ 。

#### 2.3 算法

下面我们将给出具体算法。

Algorithm 1 基于交叉熵方法的集中式不可分割任务调度(CUTS)算法

- 1: 初始化:
- 2:  $p_{i,j}^0 = 1/(T+1),$  $\forall i \in \mathcal{N}, j \in \{0\} \cup \{1, 2, \dots, T\}$
- 3:  $t = 1, N_s, \rho, d$
- 4: 初始化结束
- 5: 重复执行以下步骤
- 6: 根据 $f(\cdot; P^{\iota-1})$ 随机抽取 $N_s$ 个样本 $\{a^1, a^2, a^3, \dots, a^{N_s}\}$ ,然后计算出 $\{Q(a^1), Q(a^2), Q(a^3), \dots, Q(a^{N_s})\}$ 的值并按降序排序
- 7: 根据公式(18)更新 **γ**′
- 8: 根据公式(24)更新 P<sup>1</sup>
- 9: t = t + 1

10: 如果 $\gamma' = \gamma'^{-1} = \cdots = \gamma'^{-d}$ 就结束 循环

#### 3 实验与结果

#### 3.1 仿真设置

我们假设存在这样一个多层次 算力网络(参数设置如表1所示)。该 网络为3层算力网络:第1层有多个 用户,第2层有10个雾节点,第3层有 1个雾节点。用户的任务不可拆分。 用户先将任务卸载到第2层雾节点, 其他层的雾节点之间通过有线进行 连接。假设雾节点的初始状态都为 无其他任务在运行。

与CUTS算法相对比的几种基准方法为:

- (1)本地计算:每个用户都在本地运行任务;
- (2)云计算:每个用户都将任务 卸载到云端;
- (3)随机卸载:每个用户做出的 卸载决策是随机的。

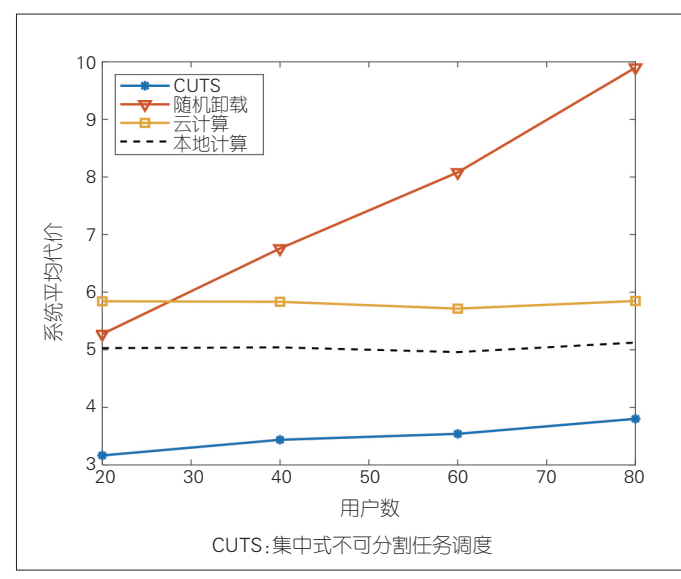
本文以下仿真结果均为400次仿 真结果的平均值。

#### 3.2 系统平均代价

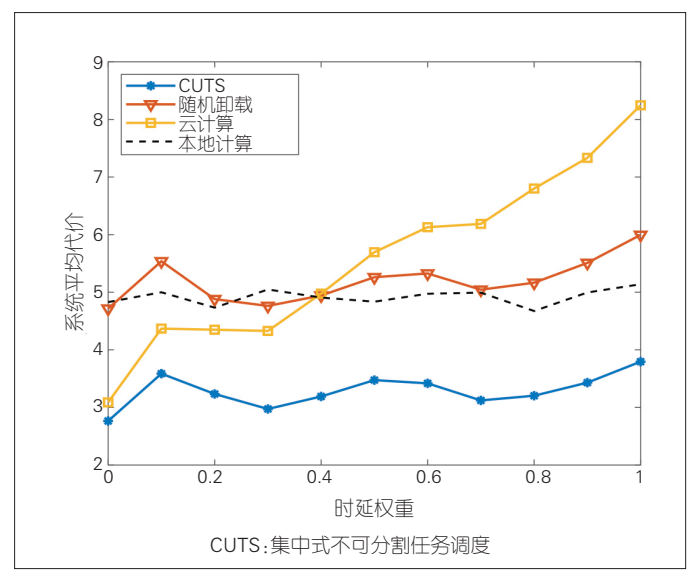
如图 2 所示,随着用户数的变化, CUTS算法总是能够取得最优的系统 平均代价。本地计算通信时延较小, 然而总代价却高于多层算力网络,这 说明引入算力网络有效解决了本地 计算算力较小的问题。图 3 展示了当

▼表1 仿真参数设置

参数	取值
网络各层节点数	{N, 10,1}
任务大小z <sub>n</sub> /kB	[500,5 000]
处理密度 $\gamma_n$ /(cycle·b <sup>-1</sup> )	[500,3 000]
本地设备的计算能力 $f_n$ /GHz	{0.8,0.9,1.0,1.1,1.2}
能耗常数 <b>κ</b> "	$10^{-27}$
二层雾节点的计算能力f <sub>.</sub> /GHz	20
用户 $n$ 到雾节点 $k$ 的传输速率 $R_{n,k}/(Mbit\cdot s^{-1})$	[2.01,4.01]
发送功率 $P_{ ext{fog.n}}$ /( mJ·s <sup>-1</sup> )	1 224.78
財延权重α	(0,1)



▲图2 系统平均代价与用户数的关系



▲图3 系统平均代价与时延权重的关系

用户的任务性质不同时,不同算法的效果。当α值较大时,任务性质偏向时延敏感型。因为云端距离用户较远,通常具有比较大的时延,从图3中我们可以看出,引入多层算力网络可以有效解决云计算网络存在的延迟大的问题。

#### 3.3 受益用户数

图4展示了在不同算法下的受益 用户数。受益用户是指,在当前卸载 策略下降低自身处理任务代价的用 户。除随即卸载算法外,其他算法的 受益用户数都与总用户数呈正相关。 由图4可知,CUTS算法依然表现出最 优性能。

#### 3.4 时延及能耗成本分布

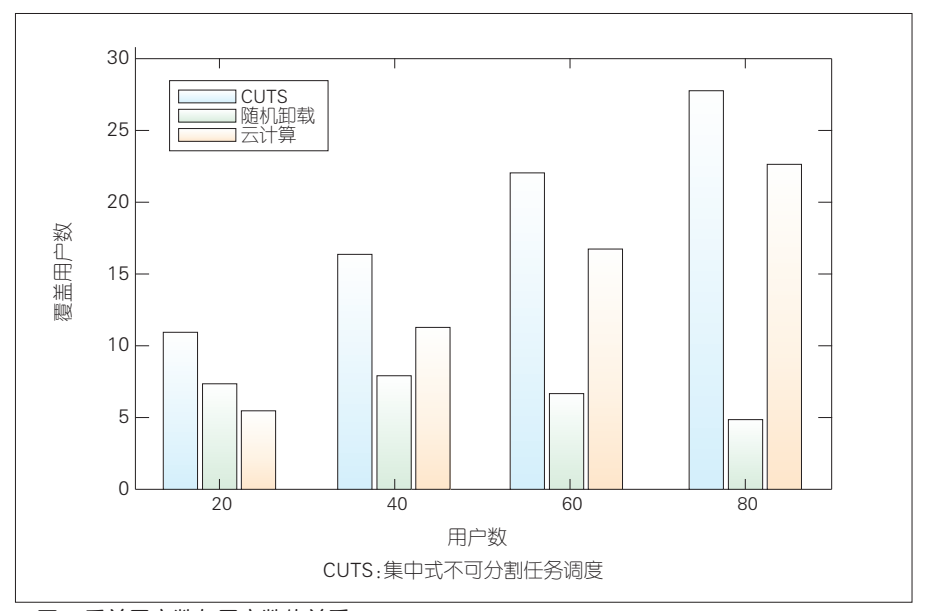
图 5 展示了随着用户数目的增加,时延和能耗的对比情况。可以看出,随着总用户数的增加,总的代价也在增加,但是增加幅度在减缓。此外,时延产生的代价要略高于能耗产生的代价。

## 3.5 本地计算、雾计算和云计算用户

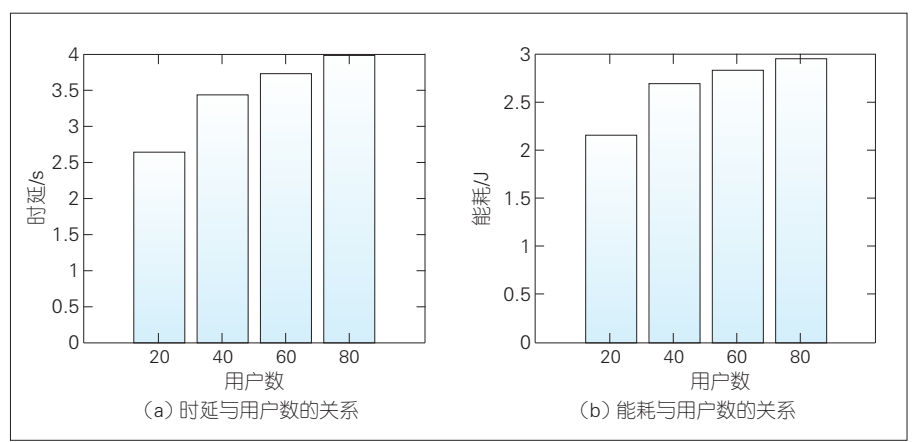
图 6 展示了随着用户数增加,各用户的卸载决策分布。可以看出,选择本地用户和云计算的用户数目逐渐增多,而选择雾节点的用户数却几乎不变。这是因为雾节点的算力资源接近饱和。

#### 4 结束语

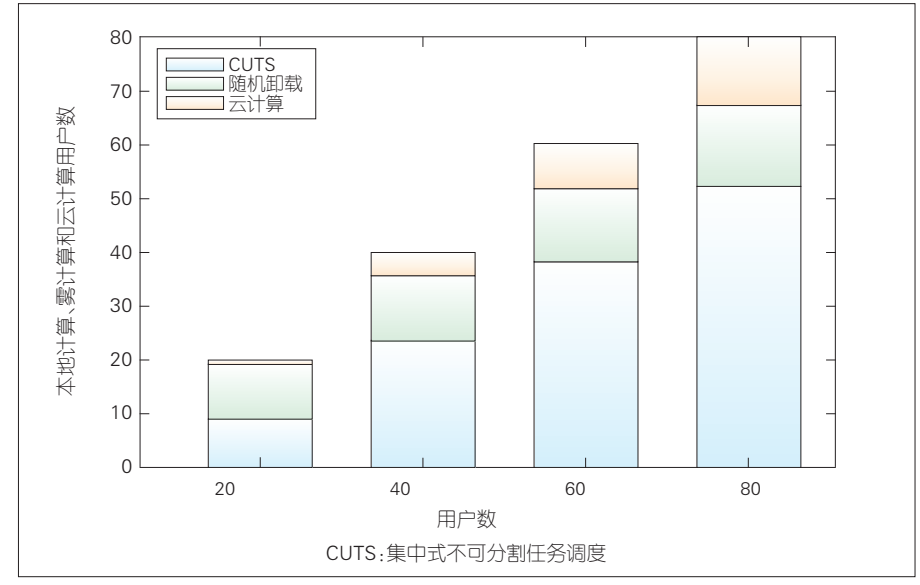
本文中,我们提出一种多层次算力网络模型和计算卸载系统,定义一个由时延、能耗组成的加权代价函数,并建模一个任务调度问题。为解决这一问题,我们提出CUTS算法,即将一个确定性问题转化成了一个估计问题,通过重要性采样和交叉熵的方法来求解问题的最优解。数值仿



▲图4 受益用户数与用户数的关系



▲图5 时延和能耗与用户数的关系



▲图6选择本地计算、雾计算和云计算的用户数与总用户数的关系

真结果表明,CUTS算法能够在系统 平均代价和受益用户数方面提供最 优性能。算力网络可以有效解决单 层网络带来的算力小或时延大的 问题。

#### 致谢

本研究得到上海科技大学杨旸 老师、吴连涛老师的帮助,谨致谢意!

#### 参考文献

- [1] REN J K, HE Y H, YU G D, et al. Joint communication and computation resource allocation for cloud-edge collaborative system [C]// 2019 IEEE Wireless Communications and Networking Conference (WCNC). Marrakesh, Morocco: IEEE, 2019: 1–6. DOI: 10.1109/WCNC.2019.8885877
- [2] MOURADIAN C, NABOULSI D, YANGUI S M, et al. A comprehensive survey on fog computing: state-of-the-art and research challenges [J]. IEEE communications surveys & tutorials, 2018, 20(1): 416-464. DOI: 10.1109/ COMST.2017.2771153
- [3] LIU Z N, YANG Y, CHEN Y, et al. A multi-tier cost model for effective user scheduling in fog computing networks [C]//IEEE INFOCOM 2019 – IEEE Conference on Computer Communications Workshops (INFOCOM WK-SHPS). Paris, France: IEEE, 2019: 1–6. DOI:

- 10.1109/INFCOMW.2019.8845252
- [4] MAO Y Y, YOU C S, ZHANG J, et al. A survey on mobile edge computing: the communication perspective [J]. IEEE communications surveys & tutorials, 2017, 19(4): 2322–2358. DOI: 10.1109/COMST.2017.2745201
- [5] YANG Y, WANG K L, ZHANG G W, et al. MEETS: maximal energy efficient task scheduling in homogeneous fog networks [J]. IEEE Internet of Things journal, 2018, 5(5): 4076– 4087. DOI: 10.1109/JIOT.2018.2846644
- [6] DINH T Q, TANG J H, LA Q D, et al. Off-loading in mobile edge computing: task allocation and computational frequency scaling [J]. IEEE transactions on communications, 2017, 65(8): 3571–3584. DOI: 10.1109/TCOMM.2017.2699660
- [7] CHEN X, JIAO L, LI W Z, et al. Efficient multiuser computation offloading for mobile-edge cloud computing [J]. IEEE/ACM transactions on networking, 2016, 24(5): 2795–2808. DOI: 10.1109/TNET.2015.2487344
- [8] NOWAK D, MAHN T, AL-SHATRI H, et al. A generalized Nash game for mobile edge computation offloading [C]//2018 6th IEEE International Conference on Mobile Cloud Computing, Services, and Engineering (Mobile-Cloud). Bamberg, Germany: IEEE, 2018: 95– 102. DOI: 10.1109/MobileCloud.2018.00022
- [9] YANG Y, LIU Z N, YANG X M, et al. POMT: paired offloading of multiple tasks in heterogeneous fog networks [J]. IEEE Internet of Things journal, 2019, 6(5): 8658–8669. DOI: 10.1109/JIOT.2019.2922324
- [10] YANG Y. Multi-tier computing networks for intelligent IoT [J]. Nature electronics, 2019, 2 (1): 4-5. DOI: 10.1038/s41928-018-0195-9
- [11] LIU Z N, YANG Y, ZHOU M T, et al. A unified cross-entropy based task scheduling algorithm for heterogeneous fog networks [C]//Proceedings of the 1st ACM International Workshop on Smart Cities and Fog Computing. New York, NY, USA: ACM, 2018: 1–6. DOI: 10.1145/3277893.3277896
- [12] SHAH-MANSOURI H, WONG V W S. Hierar-chical fog-cloud computing for IoT systems: a computation offloading game [J]. IEEE Internet of Things journal, 2018, 5(4): 3246–3257. DOI: 10.1109/JIOT.2018.2838022

#### 作 者 简 介



**巩宸宇**,上海科技大学 信息与技术学院在读硕 士研究生;研究领域主 要包括物联网与无线通 信、雾计算等。



舒洪峰,深圳市智慧城内 市到村技发展集团担任限 到市社公室设经理,曾过有限 到市社公室副主任,深公 时特公司 市特公建设公室要出在 联会包括大大数域域 等。5G及城域物联转

网、数字经济等。



张昕, 教授级高级工程师,深圳市智慧城市智慧城市智慧城市智慧城市有限深期市发展案部标准化技产变通标准化技术变强。 资级市市图 表现市西智慧政府市图,对于政策,对交领市、图,对于政策,对交领市、图,对于政策,对交领市、图,对于政策,对交流,对交流,对交流,以上,

主持并完成综合交通运行指挥中心、智慧宝安总体规划、路边停车系统、侨香路智慧道路、智慧国资管理展示中心及智慧国资大数据中心等项目;获华夏建设科学技术奖一等奖、中国智能交通协会一等奖、深圳市科技创新奖等省部级奖励(7项);发表论文与专著20余篇,申请发明专利3项,参与编制深圳市地方标准9项。